

Академия наук Украинской ССР
Институт теоретической физики

ИТФ-78-162Р
январь 1979

В.И.Горюховский

ВАРИАЦИОННАЯ ТЕОРИЯ КРИВОЛИНЕЙНОЙ
ЭЛЕКТРИЧЕСКОЙ ЛИНИИ

Киев - 1979

Вариационная теория криволинейной
электрической дуги

Модифицированный вариационный принцип Пригожина-Гланедорфа используется для расчета прямыми методами тепловых и электрических характеристик, а также геометрических параметров электрических дуг сложной формы.

Препринт Института теоретической физики АН УССР

Киев 1979

V.I.Gorokhovsky

Variational Theory of Curvilinear
Electric Arc

The Prigozhin-Glandorf modified variational principle is used to calculate by the direct methods the thermal and electric characteristics and also the geometrical parameters of electric arcs of a complex form.

Preprint of the Institute for Theoretical Physics
Academy of Sciences of the Ukrainian SSR
Kiev 1979

Академия наук Украинской ССР
Институт теоретической физики

Препринт
ИТФ-78-162Р

В.И.Гороховский *

ВАРИАЦИОННАЯ ТЕОРИЯ КРИВОЛИНЕЙНОЙ
ЭЛЕКТРИЧЕСКОЙ ЛУГИ

*Ин-т сверхтвердых материалов АН УССР

Киев - 1979

В.И.Пороховский

Вариационная теория криволинейных
электрических дуг

Модифицированный вариационный принцип Пригожина-Гланедорфа используется для расчета прямыми методами тепловых и электрических характеристик, а также геометрических параметров электрических дуг сложной формы.

The Prigozhin-Glanedorf modified variational principle is used to calculate by the direct methods the thermal and electric characteristics and also the geometrical parameters of electric arcs of a complex form.

Variational Theory of Curvilinear Electric Arc

В.И.Горокховский

Явления, возникающие при деформации электрической дуги, вызванной естественной или вынужденной конвекцией, все еще недостаточно изучены как теоретически, так и экспериментально. Трудности теоретического исследования связаны с исключительной сложностью уравнений динамики термической плавки [1] в случае криволинейных электрических дуг. Поэтому представляет интерес рассмотрение простых, но достаточно общих моделей, позволяющих выяснить влияние различных факторов на характеристики криволинейных дуг.

В настоящем *в рабочем* наиболее полное описание электрических дуг сложной формы получено в рамках модели движущейся дуги Меккера [2]. В модели Меккера предполагается, что движение электрической дуги складывается из "скольжения" теплового облака относительно среды, вызванного неоднородностью нагрева и теплоотвода, и магнитогидродинамического движения проводящего канала дуги. При этом абсолютная скорость канала максимальной температуры

$$\vec{V}_A = \vec{V}_{TC} + \vec{V}_{MD}, \quad (1)$$

где \vec{V}_{TC} — скорость теплового скольжения, определяемая из уравнения баланса энергии дуги без учета конвективного теплопереноса; \vec{V}_{MD} — скорость проводящего газа, получаемая из решения магнитогидродинамической задачи.

Таким образом, задача расчета криволинейной дуги распадается на две, в некотором смысле независимые подзадачи: расчет распределения температуры в дуге и баланса энергии

І. В В Е Д Е Н И Е

Аксиальная составляющая напряженности поля \vec{E} удовлетворяет интегральному закону Ома:

$$I = E_z \iint_0^{R_\omega} \bar{\sigma}(z, \theta) z dz d\theta, \quad (5)$$

где I — сила тока дуги, R_ω — радиус канала. Если решения МГД-задачи в ряде случаев известны и могут быть приложены к расчету криволинейной дуги, то решение тепловой задачи представляет большие трудности.

Целью данной работы является получение достаточно простых расчетных соотношений, связанных наиболее важные характеристики электродуговых устройств, такие как напряженность электрического поля, максимальная температура, скорость движения дуги, радиус проводящей зоны и другие с силой тока, геометрией разряда, родом газа.

2. БАЛАНС ЭНЕРГИИ КРИВОЛИНИЕЙНОЙ ДУГИ

Без учета конвекции уравнение баланса энергии электрической дуги в цилиндрическом канале можно записать в виде [1] :

$$\frac{\partial C^p}{\partial t} \frac{\partial S}{\partial t} = \vec{E}^2 \bar{\sigma}(S) - \varepsilon(S) + \frac{\partial}{\partial r} \left(\kappa \frac{\partial S}{\partial r} \right) + \\ + \frac{\partial}{\partial z} \frac{\partial^2 S}{\partial z^2} + \frac{\partial^2 S}{\partial r^2}, \quad (2)$$

где S^* — значение "функции теплопроводности", соответствующее границе проводящей зоны. В дальнейшем мы будем рассматривать канальную модель дуги с кусочно-линейной зависимостью электропроводности $\bar{\sigma}$ от "функции теплопроводности" S :

где S^* — значение "функции теплопроводности", соответствующее границе проводящей зоны. В дальнейшем мы будем рассматривать канальную модель дуги с кусочно-линейной зависимостью электропроводности $\bar{\sigma}$ от "функции теплопроводности" S :

$$\bar{\sigma}(S) \begin{cases} B(S-S^*) & \text{при } S \geq S^* \\ 0 & \text{при } S < S^* \end{cases} \quad (6)$$

$$\frac{\partial C^p}{\partial t} = \left[\frac{S_w h_w (\partial \bar{\sigma} / \partial S)_p}{S^* - S_w} \right] \frac{1}{V \cdot T + 1},$$

где

$$V = \frac{S \cdot S^*}{S^* - S_w}, \quad J = \frac{S_w}{S^* - S_w} \ll 1.$$

В достаточно широком интервале температур h (T) и $S(T)$ можно аппроксимировать зависимость, близкой к степенной. Тогда $(d \ln h) / d \ln S_p$ — слабо меняющаяся величина, порядка единицы. Запишем уравнение баланса энергии (2) без учета излучения в безразмерном виде. Учитывая (7), получим:

$$\vec{j} = \bar{\sigma} \vec{E}. \quad (4)$$

Электропроводность, напряженность электрического поля и плотность тока дуги связаны законом Ома:

$$\frac{1}{U_{\text{внеш}} \partial_t} \frac{\partial U}{\partial t} = \vec{E}^2 U + \frac{1}{\rho} \frac{\partial^2 U}{\partial \rho^2} + \frac{\partial^2 U}{\partial \xi^2} \quad (8a)$$

при $0 < \rho \leq \rho_*$,

$$\frac{1}{U_{\text{внеш}} \partial_t} \frac{\partial U}{\partial t} = \vec{E}^2 U + \frac{1}{\rho} \frac{\partial^2 U}{\partial \rho^2} + \frac{\partial^2 U}{\partial \xi^2} \quad (8b)$$

при $\rho_* < \rho \leq \rho_*$, где $\sigma = \frac{\rho}{\rho_*}$, $\ell_\rho = \frac{S_w R_w \rho^2}{S_* - S_w} \left(\frac{\rho - \rho_*}{\rho_*} \right)^{1/2}$,
 $\rho = \frac{\xi}{R_w}$, $\xi = \frac{\xi}{R_w}$, $\vec{E} = \vec{E}^* R_w \sqrt{\sigma}$

закон Ома (5) принимает вид:

$$\vec{I} = \vec{E} \iint_0^{\rho_*} U \rho d\rho d\theta, \quad (9)$$

где $\vec{I} = \frac{I}{R_w \sqrt{\sigma}} (S_* - S_w)$.

Функционал с помощью вариационного метода, разработанного в приложении к задачам тепломассопереноса в [4] и примененным к расчету электрических дуг в [5, 6].

Легко проверить, что функционал "действия", соответствующий уравнению (2), может быть записан в виде:

$$L_s = \lim_{t_0 \rightarrow 0} \int_{t_0}^{t_1} dt \left\{ \iint_{R_w} \int_{-\pi}^{\pi} \int_{-\infty}^{\infty} \left[\vec{E}^2 \int_0^S \sigma(S) dS - \int \mathcal{E}(S) dS \right. \right.$$

$$\left. \left. - \frac{1}{2} \left(\frac{\partial S}{\partial t} \right)^2 - \frac{1}{2} \left(\frac{\partial S}{\partial \xi} \right)^2 - \frac{1}{\rho} \left(\frac{\partial S}{\partial \rho} \right)^2 \right] \right\} d\theta d\xi. \quad (10)$$

Вариационный метод основан на существовании вариационного принципа, соответствующего данной системе уравнений. Вариационный принцип утверждает, что пробная функция U , содержащая некоторое число неопределенных коэффициентов ℓ_i , обращающая вариацию функционала $L(U)$ в нуль тогда и только тогда, когда $\tilde{U} = U$, где U — решение данной системы уравнений.

В приближении сплошной среды течение термической плазмы описывается полями векторных и скалярных величин: электромагнитного поля, поля скоростей, давлений, температур и т.п.,

которые подчиняются дифференциальным уравнениям баланса энергии, импульса, массы электрического тока и уравнениям Маковиля [1]. Для осесимметричных течений можно построить приближенный вариационный функционал, стационарное значение которого осуществляется на соответствующих приближенных решениях системы уравнений термической плазмы. Такими функционалами будут величины обобщенного произведения антропии или локальный потенциал системы [3].

Применение метода локального потенциала к расчету течения термической плазмы рассмотрено в [6]. В ряде частых задач локальный потенциал системы может быть уточнен за счет точного учета некоторых членов в уравнении баланса.

Для уравнения баланса энергии можно записать лагранжиан с помощью вариационного метода, разработанного в [4] и примененным к задачам тепломассопереноса в [4] и примененным

приложении к задачам тепломассопереноса в [4] и примененным к расчету электрических дуг в [5, 6].

Рассмотрим вариационный интеграл Роме и Вейцелем [7].

$$\frac{d^2}{dx^2} \left[\frac{1}{\rho} \left(\frac{\partial \rho}{\partial x} \right)^2 \right] = \frac{1}{\rho^2} \frac{d^2}{dx^2} \left[\frac{1}{\rho} \left(\frac{\partial \rho}{\partial x} \right)^2 \right]$$

Где φ — потенциал электрического поля. Варьируя $\int \mathcal{L} d\tau$ по ψ и учитывая соотношение (4), можно показать, что уравнение неравенности тока (3) является уравнением Сильвер-Лагранжа для интеграла (1).

С помощью метода локального потенциала легко объединить интегралы (I), (II) в единий вариационный интеграл, уравнения Эйлер-Лагранжа которого дают выражение баланса энергии и

Однако в этом случае введение в уравнение (1) коэффициентов E_1 , E_2 , E_3 и E_4 не приводит к упрощению выражения для $\chi_{\text{вн}}^2$.

$$\Delta_{SE} = \left(\frac{\rho_m}{\rho_0 + \rho} \right) \left[\frac{G(S)}{S} - \frac{E(S)}{S} \right] dS$$

где в процессе варирования величины с индексом "0" считаются фиксированными, а затем, после окончания варирования учитывается дополнительное условие $S^0 = S^*$, $E^0 = E^*$ и т. д.

$$\text{IgA} \rightarrow \text{IgG} \rightarrow \text{IgM}$$

Тогда имеем уравнение Эйлер-Лагранжа для функционала (18б) о подынтегральной функции (13в), при условии, что величины с индексом (0) являются независимыми и наваркируемыми параметрами до окончания процесса варкирования, после предельного $\lim_{\lambda \rightarrow \infty}$.
 Заметим, что изотерма максимумной температуры, вообще говоря, не совпадает с линией центров распределения фотонов в сечении разрядной камеры.

Для решения задачи (8) прямими методами о использовании вариационного интеграла (13), аппроксимируя функции

$$U(\varphi, \theta, \xi) = E(\varphi, \theta, \xi)$$

пробными функциями

$$U_k(\tilde{\varphi}_k, \tilde{\theta}_k, \tilde{\xi}_k, \rho, \varphi, \theta, \xi), E_k(E_m, \rho_0, \theta_0, \xi_0)$$

где

$$U_m(\tilde{\varphi}, \tilde{\xi}), E_m(\tilde{\varphi}, \tilde{\xi})$$

— значения U, E на засторме максимальной температуры (или кризисной луги),

$$\tilde{\theta} = \frac{R}{R_0}, \quad \tilde{\varphi}, \tilde{\xi}$$

соответственно радиальная и угловая цилиндрические координаты

$$\varphi, \theta, \xi, R, \rho, \varphi, \theta, \xi$$

Формирование распределения

$$U, E$$

по оценению разрядной камеры.

После подстановки в

$$\int_S \psi \Phi d\sigma$$

пробной функции и вычисления

$$\int_S \psi \Phi d\sigma$$

интегралов по

$$\varphi, \theta, \xi$$

функционал

$$\int_S \psi \Phi d\sigma$$

превращается в

$$= \frac{e^2}{4\pi r^2} \left(\frac{2}{E^2 + \frac{1}{r^2}} - \frac{2}{r^2} \right) \sin^2 \theta$$

$$+ \frac{1}{2} \left(\frac{\partial^2 \phi}{\partial x^2} \right)^2 + \frac{1}{2} \left(\frac{\partial^2 \phi}{\partial y^2} \right)^2 + \frac{1}{2} \left(\frac{\partial^2 \phi}{\partial z^2} \right)^2$$

4. ИССЛЕДОВАНИЕ ДЕФОРМИРОВАННЫХ ЦУГ ПРИМЕНЯЮЩИМИ МЕТОДАМИ

Для решения задачи (8) пряммыи методами о иопользованием вариационного интеграла (13), аппроксимируем функции $U(\rho, \theta, \varphi)$, $E(\rho, \theta, \varphi)$ пробными функциями

$$U_k(\rho_m, \theta, \psi, \rho_0, \eta_r, \eta_s, \xi, \varphi), E_k(E_m, \theta_0, \eta_r, \xi)$$

где

$U_m(\xi, \eta_s)$, $E_m(\xi, \eta_s)$ - значения U , E на изотерме максимума

ной температуры (оин криволинейной дуги), $\sigma_z = \frac{R_{\text{д}}}{R_{\text{д}} + R_{\text{в}}}$, $\sigma_y = \Psi(\varphi, \beta)$ — соотношению радиальных и угловых цилиндрических координат оси дуги, R_o , R_z , R_x , R_y , $R_{\text{д}}$, $R_{\text{в}}$ — параметры распределения ψ , E по оценнию разрядной камеры.

После подстановки в

$$\sum_{\sigma \in S} f_\sigma(\varphi) \psi_\sigma$$

пробной функции и выятия

$$\int_{\mathbb{R}^d} f_\sigma(\varphi) \psi_\sigma$$

функционал

$$\sum_{\sigma \in S} f_\sigma$$

превращается в

пробной функции и вычития
функционал $\sum s^k$ превращается в

Тогда система уравнений Эйлер-Лагранжа для функционала (18б) с полиномиальной функцией (13в), при условии, что величины \dot{c} и $\dot{\delta}$ (0) являются независимыми и неварирующими параметрами, имеет вид

Метрами до окончания процесса варкирования, после предыдущего замечания, что изотерма максимальной температуры, вообще говоря, не совпадает с линией центров распределения фокусов сечения разрядной камеры.

перехода $\chi \rightarrow 0$ принимает вид*:

$$\left. \begin{aligned} \frac{\partial L_{se}}{\partial \dot{\alpha}} - \frac{\partial}{\partial t} \frac{\partial L_{se}}{\partial \alpha'_1} - \frac{\partial L_{se}}{\partial \alpha''_1} &= 0 \\ \frac{\partial L_{se}}{\partial \dot{\psi}} - \frac{\partial}{\partial t} \frac{\partial L_{se}}{\partial \psi'_1} - \frac{\partial L_{se}}{\partial \psi''_1} &= 0 \end{aligned} \right\} \quad (14a)$$

$$\frac{\partial L_{se}}{\partial \dot{\alpha}} - \frac{\partial L_{se}}{\partial \alpha''_2} = 0 \quad (15a)$$

$$\frac{\partial L_{se}}{\partial \dot{U}_m} - \frac{\partial}{\partial t} \frac{\partial L_{se}}{\partial U'_{m1}} - \frac{\partial L_{se}}{\partial U''_{m1}} = 0 \quad (14d)$$

$$\left. \begin{aligned} \frac{\partial L_{se}}{\partial \dot{n}_0} - \frac{\partial}{\partial t} \frac{\partial L_{se}}{\partial n'_{01}} - \frac{\partial L_{se}}{\partial n''_{01}} &= 0 \\ \frac{\partial L_{se}}{\partial \dot{n}_1} - \frac{\partial}{\partial t} \frac{\partial L_{se}}{\partial n'_{11}} - \frac{\partial L_{se}}{\partial n''_{11}} &= 0 \end{aligned} \right\} \quad (14e)$$

$$\left. \begin{aligned} \frac{\partial L_{se}}{\partial \dot{n}_x} - \frac{\partial}{\partial t} \frac{\partial L_{se}}{\partial n'_{x1}} - \frac{\partial L_{se}}{\partial n''_{x1}} &= 0 \\ \frac{\partial L_{se}}{\partial \dot{n}_y} - \frac{\partial}{\partial t} \frac{\partial L_{se}}{\partial n'_{y1}} - \frac{\partial L_{se}}{\partial n''_{y1}} &= 0 \end{aligned} \right\} \quad (14f)$$

$$\left. \begin{aligned} \frac{\partial L_{se}}{\partial \dot{U}_m} - \frac{\partial L_{se}}{\partial U'_{m1}} &= 0 \\ \frac{\partial L_{se}}{\partial \dot{n}_0} - \frac{\partial L_{se}}{\partial n'_{01}} &= 0 \end{aligned} \right\} \quad (15b)$$

$$\bar{I} = \bar{E}_2 \int \int U_2 d\rho d\theta, \quad (15c)$$

Приложение к системе (14) уравнение (9), выражющее интегральный закон Ома, мы получим полную систему уравнений для определения параметров криволинейной дуги.

Рассмотрим для случая применения лагранжева вариационного метода для расчета деформированных электрических дуг в рамках модели Меккера движения дуги. Первый – простейший случай

соответствует омешению дуги параллельно оси цилиндрической ракордной камеры под влиянием поперечного магнитного поля [2]

* Более гладкие формулаторы $\rho_0, \rho_1, \dots, \rho_k$ могут быть функциями от θ . В этом случае в уравнении Эйлера–Лагранжа подаются члены типа $-\frac{\partial}{\partial \theta} \frac{\partial L_{se}}{\partial \dot{\rho}_k}$.

В этом случае задача не зависит от χ и ψ , и L_{se} является функцией только U_m , отклонения оси дуги от оси камеры $\tilde{\alpha}$, и формпараметров n_0, n_1, \dots, n_k , а $\bar{E} = (0, 0, E_2)$ – определяется из закона Ома (9). Система (14) принимает вид:

$$\left. \begin{aligned} V_{rc} = f_0(\tilde{\alpha}, U_m, n_0, n_1, \dots, n_k, \bar{E}_2) \\ U_m = f_1(\tilde{\alpha}, U_m, n_0, n_1, \dots, n_k, \bar{E}_2) \\ n_0 = f_{n0}(\tilde{\alpha}, U_m, n_0, n_1, \dots, n_k, \bar{E}_2) \\ n_k = f_{nk}(\tilde{\alpha}, U_m, n_0, n_1, \dots, n_k, \bar{E}_2) \end{aligned} \right\} \quad (16a)$$

$$\bar{E}_z = f_e(\sigma, U_m, \rho_0, \rho_1, \dots, \rho_k; I). \quad (16a)$$

В стационарном состоянии скорость дуги относительно вещества $V_{r.c.}$ уравновешивается скоростью конвективного потока, вызванного силой Доренса со стороны внешнего магнитного поля. Решение магнитогидродинамической задачи для дуги, отклоненной магнитным полем, было получено в [8, 9]. На оси отклоненной дуги величина окороти проводящего газа

$$V_{\text{окр}} = \frac{I_0}{\pi \sigma R} \left(\frac{Z^2}{(r - \alpha)^2} - \ln \left(\frac{Z^2}{(r - \alpha)^2} \right) + 1 \right). \quad (17)$$

В соответствии с моделью Меккера в стационарном состоянии

$$V_{\text{окр}} + V_{r.c.} = 0, \quad (18)$$

где $V_{r.c.}$ определяется из уравнения (16a).

Уравнение (18) вместе с системой (16) даёт возможность определить как величину отклонения дуги при различных магнитных полях и токах, так и все тепловые и электрические характеристики дуг в отклоненном положении.

Более сложный случай соответствует дуге, приобретающей форму винта в результате взаимодействия собственного или внешнего продольного магнитного поля с током дуги. В силу интегральной симметрии задачи многое переменных θ, ξ можно заменить винтовыми координатами $\tilde{\theta} = \theta + \kappa \xi$, $\tilde{\xi}$, где

$\kappa = \frac{Z^2 R_m}{I_0}$, $\tilde{\theta}$ — шаг винта. При такой замене производная $\frac{\partial}{\partial \theta}$ переходит в $\frac{\partial}{\partial \tilde{\theta}}$, а $\frac{\partial}{\partial \xi}$ в $(\kappa \frac{\partial}{\partial \tilde{\theta}}, \frac{\partial}{\partial \tilde{\xi}})$, $(\omega \frac{\partial}{\partial \tilde{\theta}}, \frac{\partial}{\partial \tilde{\xi}})$. При этом вариационный интеграл (13б) принимает вид:

$$L_{\text{ст}} = \int_0^{2\pi} \int_0^R \int_0^{l^*} \left(\frac{\partial E}{\partial \tilde{\theta}} \right)^2 V^2 \rho d\tilde{\theta} - \int_0^{2\pi} \int_0^R \left(\frac{\partial V}{\partial \tilde{\theta}} \right)^2 \left(\frac{\partial E}{\partial \tilde{\theta}} \right)^2 \rho d\tilde{\theta}, \quad (19a)$$

где $\omega = \frac{\partial \tilde{\xi}}{\partial \tilde{\theta}}$.
При слабой зависимости скорости дуги от $\tilde{\xi}$ и $\tilde{\theta}$ (на участке, близком к установившемуся) в $L_{\text{ст}}$ можно опустить члены, пропорциональные произведениям $(\frac{\partial V}{\partial \tilde{\theta}})^2$ и $(\frac{\partial E}{\partial \tilde{\theta}})^2$, так как при замыкании в уравнениях Филера-Лагранжа они дают поправки второго порядка малости. Тогда интеграл $L_{\text{ст}}$ принимает вид

$$+ \int_0^{l^*} \left\{ V^2 (E')^2 \rho c/2 \right\} d\tilde{\theta}, \quad (19)$$

из выражения (20) следует, что в рамках принятых допущений только вследствие неоднородности теплового поля магнитной

дуга будет вращаться с частотой, пропорциональной углу расширения спирали. Причем при сужении и при расширении спирали дуга будет вращаться в разные стороны.

Как видим, данный результат получен без детализации формы распределения температуры в винтовой дуге. Тем не менее он согласуется с результатами экспериментального исследования винтовых дуг. Так, в работах [10, 11] при исследовании олаботочных дуг без расхода газа в прямых разрядных трубках было обнаружено, что, начиная с некоторого, критического, значения тока, дуга принимает винтовую форму, однако вращение винта обнаружено не было. С другой стороны, в эксперименте [12] водородная дуга зажигалась в каскадной камере диаметром 5 мм, которая отделялась от электродов находившимися винтами диаметром 2 мм. При разрядном токе 25 А в средней камере дуги винта винта принимала винтовую форму, а в промежуточной камере дуга зажигалась в прямой. При этом винт расширялся при переходе от промежуточной к средней разрядной камере и вращался вокруг оси камеры.

5. ВЫБОР АППРОКСИМИРУЮЩИХ ФУНКЦИЙ

Для расчета характеристик криолинейной электрической дуги прямыми методами следует построить аппроксимирующую профиль "функции теплопроводности" $\mathcal{U}(\rho, \theta, \xi)$, который принимает постоянное значение на отеке канала и имеет внутри канала максимум, смещенный на расстояние \bar{c} от оси канала.

Чтобы построить описанную функцию, уловимоющим, перечисленным условиям, рассмотрим конформное отображение единичного круга на единичный круг [13]. При этом точка $Z = e^{i\varphi}$ плоскости \mathcal{Z} -проекции переходит в точку $\omega = \frac{1-e^{-i\varphi}}{1+e^{-i\varphi}}$ плоскости ω , где $\omega = \bar{\alpha} e^{i\varphi}$. Такое отображение переводит точку $Z_\alpha = \bar{\alpha} e^{i\varphi}$ круга $|Z| < 1$ в центр круга $|\omega| < 1$, а окружность $Z = e^{i\varphi}$ переходит в окружность $\omega = e^{i\varphi}$. Элементы системы функций $1, Z, Z^2, \dots, Z^n, \dots$ при конформном отображении единичного круга на единичный круг переходят в

соответствующие элементы системы функций $1, \omega, \omega^2, \dots$. Легко показать, что любая функция $\mathcal{U}(z)$, аналитическая в круге $|Z| < 1$, при отображении $\omega = \omega(Z)$ переходит в функцию $\tilde{\mathcal{U}}(z) = \mathcal{U}(\omega(z))$, аналитическую в круге $|\omega| < 1$, то и функция $\mathcal{U}(\omega)$ аналитична в круге $|\omega| < 1$, а также аналитична в круге $|Z| < 1$. Следовательно, паряду о системе функций

$$\mathcal{U}_n(z) = \sum_{j=1}^n C_j / z^j, \quad (21)$$

использованной для осесимметричных дуг [6], для расчета криволинейных дуг может быть применена система функций вида

$$\tilde{\mathcal{U}}_n(z) = \sum_{j=1}^n \tilde{C}_j / \omega(z)^j. \quad (22)$$

Учитывая граничные условия и требуя, чтобы максимум $\tilde{\mathcal{U}}_n(z)$ находился в точке $Z_\alpha = \bar{\alpha} e^{i\varphi}$, получим следующие выражения для первых двух пробных функций системы (22):

$$\tilde{\mathcal{U}}_2(z) = (\mathcal{U}_m + \mathcal{I}) [\mathcal{H} - 1/\omega(z)^2] - \mathcal{I}, \quad (23)$$

$$\tilde{\mathcal{U}}_3(z) = (\mathcal{U}_m + \mathcal{I}) [\mathcal{H} + c/\omega(z)^3 - (\mathcal{H} + c)/\omega(z)] / \mathcal{I}. \quad (24)$$

В координатах ρ, θ с центром в точке максимума "функции теплопроводности" $\mathcal{U}(\rho, \theta)$ имеем

$$\mu\omega(z) = \frac{\rho}{\sqrt{\mathcal{H} - \bar{\alpha}^2} [\mathcal{H} - \bar{\alpha}^2 - \rho^2 + 2\bar{\alpha}\rho \cos(\theta + \varphi)]^2}, \quad (25)$$

Подставляя выражение (25) в (23), получаем следующее выражение для двухпараметрической пробной функции $\mathcal{U}_2(\mathcal{U}_m, \bar{\alpha}, 2\theta)$:

$$\mathcal{U}_2 = (\mathcal{U}_m + \mathcal{I}) [\mathcal{H} - (\mathcal{H} - \bar{\alpha}^2) \frac{\rho^2}{\mathcal{H} - \bar{\alpha}^2 - \rho^2 + 2\bar{\alpha}\rho \cos(\theta + \varphi)}] \mathcal{I}.$$

Аналогично (по формуле (22)) строятся многопараметрические пробные функции.

Используя выражение (26) из уравнения $\mathcal{U}_x = 0$ можно найти границу проводящей зоны деформированной дуги

$$\mathcal{E}_* = \frac{\rho_{o*}(1-\bar{\alpha}^2)}{(1-\bar{\rho}_{o*}\bar{\alpha}^2)} \left[\bar{\alpha} \cos \theta + \sqrt{\frac{\bar{I}}{\bar{\rho}_{o*}^2} - \bar{\alpha}^2 \sin^2 \theta} \right], \quad (27)$$

где $\bar{\rho}_{o*} = \left(\frac{U_m}{I + U_m} \right)^{\frac{1}{2}}$ – радиус границы проводящей зоны для прямой дуги, расположенной на оси канала. Подставляя профиль (26) в укороченное действие (13б) в случае прямой дуги, отклоненной на расстояние $\bar{\alpha}$ от оси канала, получим:

$$\mathcal{L}_{skz}^{(e)} = \int \int \int \int \left(U_m + I \right) \int \int \left(1 - \frac{\bar{I}}{1 - \bar{\alpha}^2} \right) \frac{\bar{\rho}}{1 - \bar{\alpha}^2 - \bar{\rho}^2 + 2\bar{\alpha}\bar{\rho} \cos \theta} d\theta, \quad (25)$$

$$- \int \int \frac{\bar{\rho}^2 d\theta}{1 - \bar{\alpha}^2} - \frac{(U_m + I)^2}{2} \int \int \frac{2\bar{\rho}(\bar{I} - \bar{\alpha}^2 - \bar{\rho}^2 + 2\bar{\alpha}\bar{\rho} \cos \theta)}{(\bar{I} - \bar{\alpha}^2)(\bar{I} - \bar{\rho}^2)} d\theta, \quad (28)$$

$$- \frac{\bar{\rho}^2 (\bar{I} - \bar{\alpha}^2)(2\bar{\alpha} \cos \theta - 2\bar{\rho})}{2\bar{\alpha}\bar{\rho} \cos \theta + \bar{\rho}^2} \int \int \frac{(\bar{U}_m + I)^2}{\bar{\alpha}^2(\bar{I} - \bar{\alpha}^2)^2} \frac{\bar{\rho}^2 \sin^2 \theta}{\bar{\rho}^2} d\theta.$$

В стационарном случае при заданном отклонении $\bar{\alpha}$ оси дуги от оси канала система уравнений Эйлера-Лагранжа (15а, б) сводится к одному уравнению

$$\frac{\partial \mathcal{L}_{skz}^{(e)}}{\partial U_m} = 0, \quad (29)$$

которое определяет зависимость "функции теплопроводности" на оси дуги от силы тока I и величины отклонения оси дуги от оси канала $\bar{\alpha}$. Выражение для электрического поля E_x , вычисленное с помощью формулы (26) по формуле (15в), принимает вид

$$I = E_x \int \int \int \int \left(U_m + I \right) \left(\frac{1}{1 - \bar{\alpha}^2} \frac{\bar{\rho}}{1 - \bar{\alpha}^2 - \bar{\rho}^2 + 2\bar{\alpha}\bar{\rho} \cos \theta} \right) d\theta d\phi \quad (30)$$

Функции вида (21) не являются единичными пробными функциями для вариационного расчета криволинейных дуг. В [5] для осесимметричной задачи была предложена пробная функция вида

$$U = (I + U_m) (1 - \bar{\rho}^2) - I, \quad (81)$$

где I – формапараметр, определяющий форму профиля "функции теплопроводности". Характеристики дуги, рассчитанные о помощи профиля (Э1) лагранжевым вариационным методом, "увязлевтори" тельно согласуются с точным решением при значении $\bar{I} \approx I$ [6]. Обобщая профиль (81) на случай криволинейных дуг, рассмотрим пробную функцию

$$U = (I + U_m) \left[I - \left(\frac{\bar{\rho}}{\bar{\rho}_k} \right)^n \right] - I, \quad (82)$$

$$\text{где } \bar{\rho}_k = \bar{\alpha} \cos \theta + \sqrt{I - \bar{\alpha}^2 \sin^2 \theta}.$$

Геометрически величина $\bar{\rho}_k$ представляет длину отрезка хорды единичного круга, проходящего под углом θ через точку σ максимальной температурой и точку окружности $|z| = I$. Легко проверить, что функция (82) удовлетворяет граничным условиям задачи и имеет единственный максимум внутри канала при $\bar{\rho} < 0$. Граница проводящей зоны для $U = 0$ вида (82) равна

$$\bar{\rho}_* = \bar{\rho}_{o*} \bar{\rho}_k. \quad (83)$$

Сравнивая (33) с выражением (27) для профиля (26) видим, что для "горячих" дуг с $U_m \gg I$, что соответствует большими токам $I \gg I$, граница проводящей зоны в обоих случаях практически совпадает. Поэтому следует ожидать, что различия в

характеристиках криволинейных дуг, вычисленных с помощью профилей (26) и (32), будут существенными также только при малых \tilde{I} . Подставляя профиль (32) в интеграл (13) в случае прямой дуги, отклоненной на расстояние $\bar{\sigma}$ от оси канала, и вычисляя соответствующие интегралы, получим

$$\mathcal{L}_{SE} = \frac{n^2 \bar{E}_x^2 U_m^2}{2(n+1)(n+2)} \left(\frac{U_m}{I+U_m} \right)^{\frac{2}{n}} - \frac{\sigma}{4} (I+U_m)^2 (I+L_{SE}), \quad (34)$$

где

$$L_{SE} = \frac{\bar{\sigma}^2}{2(I-\bar{\sigma}^2)} + \frac{\bar{\sigma}^4}{I(I-\bar{\sigma}^2)} \left[\frac{I}{2(I+V_I-\bar{\sigma}^2)} - \frac{\sqrt{I-\bar{\sigma}^2}}{I+V_I-\bar{\sigma}^2} \right]^2 -$$

$$- 2 \left(\frac{I}{I-\bar{\sigma}^2} \right)^2 \left(\frac{\bar{\sigma}^6}{I(I-\bar{\sigma}^2)(I+V_I-\bar{\sigma}^2)} \right) \int I^2 \frac{\sqrt{I-\bar{\sigma}^2}}{(I+V_I-\bar{\sigma}^2)^2 (I+V_I-\bar{\sigma}^2)} dI. \quad (35)$$

Уравнения Эйлера-Лагранжа для "действия" (34) имеют вид:

$$\frac{\partial L_{SE}}{\partial U_m} = \frac{n^2 \bar{E}_x^2 U_m}{2(n+1)(n+2)} \left(\frac{U_m}{I+U_m} \right)^{\frac{2}{n}} \left[I^2 \frac{I}{n(I+U_m)} \right] - \\ - n(I+U_m)(I+L_{SE}) = 0, \quad (36a)$$

Результаты численного расчета прямой отклоненной дуги с пробными функциями вида (23) и (24) показали, что максимальное отличие профилей \bar{U}_2 , \bar{U}_3 при $\tilde{I} \gg \mathcal{J}$ не превосходит 20%, убывая с ростом \tilde{I} . Сравнение с расчетом, используя профиль (32), показало, что максимальное отличие профилей \bar{U}_2 , \bar{U}_3 при $\tilde{I} \gg \mathcal{J}$ составляет 40% также убывая с ростом \tilde{I} . При этом отличие между решением, используяшим профиль (32) и точным аналитическим решением в овоидометрическом случае (т.е. при $\bar{\sigma} = 0$) не превосходит 80% при $\tilde{I} \gg \mathcal{J}$. Отсюда можно заключить, что профиль (32) аппроксимирует решение тепловой задачи с приемлемой для инженерных расчетом точностью при значениях параметра $\tilde{I} \gg \mathcal{J}$.

6. АППРОКСИМАЦИЯ ЭЛЕКТРИЧЕСКОГО ПОЛЯ В КРИВОЛИНИЙНОЙ ДУГЕ

Для определения электрического поля в криволинейной дуге, следуя [4, 15], рассмотрим локальную систему координат, начало которой находится на изотерме максимальной температуры (рис. 1). Пусть координатная линия \bar{x} , направленная вдоль радиуса кривизны, \bar{E} — вдоль изотермы максимальной температуры, а \bar{r} — перпендикулярно плоскости кривизны. Тогда для \bar{E} -компоненты электрического поля \bar{E} приближенно можно записать

$$\frac{\partial E_x}{\partial r} = \frac{\bar{E}_x^2 U_m^2}{(n+1)^2 (n+2)^2} \left(\frac{U_m}{I+U_m} \right)^{\frac{2}{n}} \left[3n^2 + \frac{1}{4} n + \right.$$

$$+ 2(n+1)(n+2) \operatorname{erf} \left(\frac{I+U_m}{\sqrt{2} U_m} \right) \left] - (I+U_m)^2 (I+L_{SE}) \chi_{366} \right. \quad (36b)$$

Подставляя профиль (32) в закон Ома (15в), получим

$$\bar{I} = \bar{E}_x \left(\frac{n^2}{n+2} \right) \left(\frac{U_m}{I+U_m} \right)^{\frac{2}{n}} U_m, \quad (37)$$

где

$$K_m = \frac{R_m}{\bar{E}_m} - \text{кривизна } \bar{E}-\text{линии},$$

В цилиндрической системе координат, начало которой находится на изотерме максимальной температуры с осью \bar{x} ,

параллельной оси канала и полярными координатами $\{\zeta, \theta\}$, лежащими в плоскости поперечного сечения канала (рис.1), выражение для E_τ принимает вид

$$E_\tau = \frac{E_{\tau m}}{I - K_m \gamma_f},$$

где γ_f — проекция радиус-вектора на направление радиуса кризисы изотермы максимальной температуры.

В случае винтовой дуги плоскость, поперечная ось разрядной камеры и плоскость, проведеные через одну и ту же точку на изотерме максимальной температуры, пересекаются по радиусу кризисы изотермы максимальной температуры, который, в свою очередь, пересекает под прямым углом ось разрядной камеры (рис.1). Выбирая также, как в профиле (32) в качестве начала отсчета полярного угла θ направление радиуса кризисы изотермы максимальной температуры и залавливая её в цилиндрической системе координат о ось Z , совпадающей с осью канала, радиусом α и полярным углом ψ , получим следующее выражение для распределения электрического поля в винтовой дуге:

$$E_r = \frac{E_{\tau m}}{I - K_m \gamma \cos \theta}. \quad (38)$$

Важной характеристикой криволинейных дуг является величина удлинения линий тока по сравнению с осесимметричным случаем. Но потенциал картины распределения тока в криволинейной дуге, принят в качестве удлинения дуги удлинение линии, проходящей через центры распределения тока в каждом сечении канала. Для радиус-вектора центра распределения тока по поперечному сечению разрядной камеры имеем

$$\vec{r}_f = \int_0^R \int_0^{2\pi} E_\tau \sigma(\zeta, \theta) \hat{z} d\zeta d\theta / \int_0^R \int_0^{2\pi} E_\tau \sigma(\zeta, \theta) r d\zeta d\theta, \quad (39)$$

где E_τ определяется выражением (38), $\sigma(\zeta, \theta)$ — распределение электропроводности плазмы по сечению разрядной камеры. Определяя расстояние от оси канала до центра распределения тока

$$G = \sqrt{\vec{r}_m^2 + \vec{r}_f^2 - 2(\vec{r}_m \cdot \vec{r}_f)}, \quad (40)$$

где \vec{r}_m — радиус-вектор точки максимальной температуры, удлинение криволинейной дуги определим следующим выражением

$$\frac{\partial \vec{r}_f}{\partial z} = \sqrt{1 + (\alpha'_f)^2 + K^2 \alpha'^2}. \quad (41)$$

Аксимальная составляющая напряженности электрического поля, направленная вдоль оси канала, удовлетворяет закону Ома. С учетом соотношений (38)-(41) можно получить

$$E_{\tau m} = \frac{I \sqrt{1 + (\alpha'_f)^2 + K^2 \alpha'^2}}{\int_0^R \int_0^{2\pi} I - K_m \gamma \cos \theta}, \quad (42)$$

где I — сила тока дуги.

Применим полученную формулу в наиболее простом случае бесконечно тонкой дуги, обладающей проводимостью G . В этом случае распределение электропроводности по сечению канала можно записать в виде $\sigma(\vec{r}) = G \delta(\vec{r})$, где $\delta(\vec{r})$ — функция Дирака. Подставляя $\sigma(\vec{r})$ в выражение (42), получим

$$E_{\tau m} = \frac{I}{G} \frac{\partial \vec{r}_f}{\partial z} = E_\tau \frac{\partial \vec{r}_f}{\partial z}. \quad (43)$$

Соотношение (43) выражает тот известный факт, что истинная напряженность электрического поля в криволинейной дуге (иогда ее называют технической напряженностью [17]) равна эффективной напряженности, определяемой распределением электропроводности по поперечному сечению разрядной камеры, умноженному на удельную длину токопроводящего канала дуги.

Определим среднюю напряженность электрического поля в призматической дуге с помощью соотношения

$$\langle \vec{E}_g \rangle = \frac{1}{L_g} \oint_{\Gamma_g} \vec{E} \cdot d\gamma - \frac{E_m d\gamma}{k_m \cos \theta}, \quad (44)$$

где Γ_g — граница сечения проводящей зоны дуги, перпендикулярного оси разряда камеры, E_m определяется из выражения (42). Проведя в (38) аппроксимацию первого рода и используя профиль (32) для канальной модели дуги по вышеприведенным формулам, находим в случае рентговой дуги:

$$|\vec{E}| = |\vec{E}_m| \left[I^+ \left(\frac{\kappa^2 \bar{\sigma}}{I + \kappa^2 \bar{\sigma}^2} \right) - \rho \cos(\theta + \kappa \xi) \right], \quad (45)$$

$$|\vec{E}_m| = \frac{\bar{I} \sqrt{I + \kappa^2 \bar{\sigma}^2}}{U_m (I + U_m)^{\frac{1}{2}} \left(\frac{2n+2}{n+2} \right)^{\frac{1}{2}} \left(\frac{I + U_m}{I + \kappa^2 \bar{\sigma}^2} \right)^{\frac{1}{2}} \left(\frac{n+2}{n+3} \right)^{\frac{1}{2}}}, \quad (46)$$

$$I^+ = \alpha \left\{ I^+ \left(\frac{\kappa^2 (I^+ + 2\bar{\sigma}^2)}{I + \kappa^2 \bar{\sigma}^2} \right) - \left(\frac{U_m}{I + U_m} \right)^{\frac{1}{2}} \left(\frac{n+2}{n+3} \right)^{\frac{1}{2}} \left(\frac{I^+ + \kappa^2 \bar{\sigma}^2}{I + \kappa^2 \bar{\sigma}^2} \right) \left(\frac{U_m}{I + U_m} \right)^{\frac{1}{2}} \right\}, \quad (47)$$

Для вычисления средней напряженности электрического поля по формуле (44) в случае "толстых" дуг заменим интегрирование по границе проводящей зоны на интегрирование по границе канала

$$\langle |\vec{E}| \rangle = |\vec{E}_m|. \quad (48)$$

7. РАСЧЕТ ТЕПЛОВЫХ И ЭЛЕКТРИЧЕСКИХ ХАРАКТЕРИСТИК ВИНТОВОЙ ДУГИ

Для вычисления "укороченного действия" (13б) в случае прямой винтовой дуги примем для $\vec{U}/2$ профиль (32), а для

$|\vec{E}|$ профиль (45). Поскольку профиль (45) не содержит новых независимых параметров, при вычислении интеграла (13б) можно не учитывать последний член, в который электрическое поле входит как варьируемая функция. Используем также аппроксимацию первого рода для коэффициента при $(\frac{\partial \vec{U}}{\partial \xi})^2$

$$\frac{\partial \vec{U}}{\partial \xi} \approx \frac{I}{I + U_m} \int_{\Gamma_g} \left[I^+ (I + U_m) \frac{\partial \vec{U}}{\partial \xi} \right].$$

В результате получим:

$$L_{SE} = \frac{(\bar{I})}{|\vec{E}_m|} / \left[\frac{2}{I} \left(\frac{U_m}{I + U_m} \right)^{\frac{1}{2}} U_m^{\frac{n+2}{n+3}} \frac{n+2}{n+3} - \frac{2}{I} \left(\frac{\kappa^2 \bar{\sigma}^2}{I + \kappa^2 \bar{\sigma}^2} \right)^{\frac{1}{2}} \times \right.$$

$$\times \left(\frac{U_m}{I + U_m} \right)^{\frac{1}{2}} U_m^{\frac{n+2}{n+3}} \frac{n+2}{n+3} + \frac{\kappa^2 \bar{\sigma}^2 (I^+ + 2\bar{\sigma}^2)}{(I + \kappa^2 \bar{\sigma}^2)^{\frac{1}{2}}} \left(\frac{U_m}{I + U_m} \right)^{\frac{1}{2}} \times \right.$$

$$\times U_m^{\frac{n+2}{n+3}} \frac{n+2}{n+3} \left. \right] - \frac{2}{I} \left(I^+ U_m \right)^{\frac{1}{2}} \left(I^+ + I_{SE} \right) - \frac{I^2 \kappa^2 \bar{\sigma}^2}{4(n+1)}, \quad (49)$$

$$+ I^2 \left[\frac{2}{I} \left(\frac{U_m}{I + U_m} \right)^{\frac{1}{2}} + \frac{2}{I} \left(\frac{U_m}{I + U_m} \right)^{\frac{1}{2}} + \frac{2}{I} \left(\frac{U_m}{I + U_m} \right)^{\frac{1}{2}} \right] + U_m^{\frac{n+2}{n+3}} \left[\frac{2}{I} \left(\frac{U_m}{I + U_m} \right)^{\frac{1}{2}} + \right. \\ \left. + \frac{2(I^+ U_m)^2}{(n+1)(n+2)(3n+2)} \right] + i \bar{U}_m \left[\frac{2(I^+ U_m)^2}{(I^+ + U_m)^2} + \frac{2(I^+ U_m)^2}{(I^+ + U_m)^2} \right],$$

где

$$I_{SE} = \frac{2}{I} \bar{\sigma}^2, \bar{\sigma}^2 = \int_{\Gamma_g} \frac{1}{I^2 + \bar{\sigma}^2} d\xi, \quad (50a)$$

$$I_{SE} = \frac{2}{I} \bar{\sigma}^2 \left[\frac{1}{I^2 + \bar{\sigma}^2} - \frac{I^2}{I^2 + \bar{\sigma}^2} \right] + \frac{\sqrt{I^2 + \bar{\sigma}^2}}{I^2 + \bar{\sigma}^2}. \quad (50b)$$

Поставляя выражение (49) в интеграл (13б) и варьируя полученный функционал по параметрам U_m , n , $\bar{\sigma}$, считая величины с индексом " 0 " фиксированными, а затем, после оконча-

ния варьирования, убирая индексы "о" и переходя к пределу $\sigma_o \rightarrow \sigma$, получим следующую систему уравнений, определяющих динамику винтовой дуги. Для формирования распределения V по сечению разрядной камеры получаем:

$$U_m = \frac{L_{SE,U} \delta_{222} - L_{SE,\eta} \delta_{122}}{\delta_{11} \delta_{222} - \delta_{12}^2}, \quad (51a)$$

$$\eta = \frac{L_{SE,\eta} \delta_{111} - L_{SE,U} \delta_{122}}{\delta_{11} \delta_{222} - \delta_{12}^2}, \quad (51b)$$

где

$$\begin{aligned} L_{SE,U} &= |E_m|^2 \left\{ \frac{\rho^2 U_m^2}{2(n+1)(n+2)} \left(\frac{U_m}{I + U_m} \right)^4 \left[I + \frac{K^2 \bar{Q}^2}{n(I + U_m)} \right] - \right. \\ &\quad \left. - \frac{\rho^2 U_m^2}{2(n+3)(2n+3)} \left(\frac{U_m}{I + U_m} \right)^4 \left[2 + \frac{3}{n(I + U_m)} \right] \frac{K^2 \bar{Q}^2}{(I + K^2 \bar{Q}^2)} \right\} + \\ &+ \frac{\rho^2 U_m^2}{4(n+4)(n+2)} \left(\frac{U_m}{I + U_m} \right)^4 \left[I + \frac{K^2 \bar{Q}^2}{n(I + U_m)} \right] + \end{aligned} \quad (52a)$$

$$\left. \times \frac{K^4 \bar{Q}^2}{(I + K^2 \bar{Q}^2)^2} \left\{ \frac{I}{2} + 2\bar{Q}^2 \right\} - \frac{I}{2} (I + U_m) (I + I_{20}) - \right.$$

$$\left. - \frac{K^2 n^2}{2(n+2)} (I + U_m) I_{20} \right),$$

где

$$V_{rc} = \bar{Q}_r = V_{rc} \cdot \psi + V_{rc}, \quad (58)$$

здесь $|E_m|$ определяется по формуле (46). Для определения окрестности теплового скольжения винтовой дуги V_{rc} следует варьировать функционал (18) по параметру \bar{Q} — радиусу винтовой икосмеры максимальной температуры. В результате получим

$$\begin{aligned} L_{SE,\eta} &= |E_m|^2 \left\{ \frac{U_m^2}{4(n+1)^2(n+2)} \left(\frac{U_m}{I + U_m} \right)^4 \left[3n^2 + 4n + \right. \right. \\ &+ 2(n+1)(n+2) \ln \left(\frac{I + U_m}{U_m} \right) \left. \right] - \frac{U_m^2}{2(n+3)^2(2n+3)^2} \left(\frac{U_m}{I + U_m} \right)^3 \times \\ &\times \left[n^3 + 12n^2 + 9n + 2(n+3)(2n+3) \ln \left(\frac{I + U_m}{U_m} \right) \right] \frac{K^2 \bar{Q}^2}{(I + K^2 \bar{Q}^2)^2} + \\ &+ \frac{U_m^2}{8(n+2)^2(n+4)^2} \left(\frac{U_m}{I + U_m} \right)^4 \left[6n^2 + 16n + 2(n+2) \left\{ \frac{52\sigma}{n+4} \right\} \times \right. \\ &\times \ln \left(\frac{I + U_m}{U_m} \right) \left. \right] \frac{K^4 \bar{Q}^2}{(I + K^2 \bar{Q}^2)^2} \left(\frac{I}{2} + 2\bar{Q}^2 \right) - \frac{I}{2} (I + U_m)^2 (I + I_{20}) - \\ &- \frac{(n^2 + 2n) K^2}{4(n+1)^2} I_{20}. \end{aligned}$$

$$V_{rc} \psi = |E_m|^2 \left\{ \frac{K^2 \bar{Q}}{(I + K^2 \bar{Q}^2)^2} - \left(\frac{U_m}{I + U_m} \right)^4 U_m^2 \frac{n^2}{(n+3)(2n+3)} + \right. \\ \left. + \frac{2 \left[\frac{U_m^2}{2(n+1)^2} \right]}{2 \left(\frac{U_m^2}{2(n+1)^2} \right)} I_{20} \right\}, \quad (54)$$

$$V_{rc}^{(2)} = -\gamma \left(I + U_m \right) \left\{ \frac{\frac{\partial K^2}{\partial n+1}}{\frac{\partial J_{40}}{\partial \alpha}} + \frac{\alpha J_{40}}{\alpha C_{10}} \right\} \left(\frac{\sqrt{\frac{\partial^2}{\partial n^2}}}{2(n+1)} + \frac{n^2 (I+U_m)}{(3n+2)} \right) I_{\alpha} \quad (55)$$

Величины $V_{rc}^{(1)}$ и $V_{rc}^{(2)}$ в (53) представляют вклад в скорость теплового скольжения дуги соответственно от неоднородности люоулея тепловыделения и неоднородности теплоотвода в деформированной дуге.

В линейном приближении для скорости теплового скольжения получаем

$$V_{rc} = -\bar{J} \bar{E}_0 \left\{ \frac{\frac{1}{2} + K^2 \left[\frac{\partial^2}{\partial n^2} \left(\frac{U_m}{I+U_m} \right)^{\frac{1}{2}} U_m \frac{\partial^2 (n+2)}{\partial n^2} \right]}{\frac{\partial^2}{\partial n^2} + \frac{\partial^2 (I+U_m)}{\partial n^2}} \right\} \quad (56)$$

Решая систему уравнений (1), (51а, б), где термическая скорость изотермы макомимальной температуры выражается из уравнения (58), можно рассчитать тепловые и электрические характеристики равновесной винтовой дуги с заданным шагом. При этом, в соответствии с уравнением (53), скорость теплового скольжения изотермы макомимальной температуры будет равна винтовой с обратным знаком массовой скорости.

Результаты расчета приведены на рис. 2-4. Видно, что напряженность поля в ближайшей к стенке канала точке сечения проводящей зоны возрастает как с ростом радиуса нитевой изотермы максимальной температуры, так и с уменьшением шага винта. Причем, вначале напряженность электрического поля возрастает быстрее, чем длина изотермы макомимальной температуры, а затем достигает насыщения. Этот результат хорошо согласуется с экспериментальными результатами [18]. С другой стороны, средняя напряженность электрического поля (48) при этом уменьшается.

Радиус проводящей зоны несколько уменьшается с ростом K и \bar{Q} , максимальное значение I . U_m возрастает, что также имеет место лишь при небольших значениях тока \bar{J} . Зависимость

величины скорости теплового скольжения от отклонения оси дуги от оси канала согласуется с результатами расчета и включает [20]

8. ДУГА В ЦИЛИНДРИЧЕСКОМ КАНАЛЕ В ПРОДОЛЬНОМ МАГНИТНОМ ПОЛЕ

Рассмотрим, следя [5, 16], равновесную форму дугового отолба в бесконечном цилиндрическом канале в продольном магнитном поле в пренебрежении обобщенным магнитным полем дуги. Как известно, в этом случае дуга может принимать две равновесные формы: прямой инур, расположенный на оси канала и винт с остью, совпадающей с остью канала. Винтовая форма дуги появляется в результате конвекции плавки токопроводящего канала дуги, вынужденной объемной силой Лоренца, которая возникает при взаимодействии внешнего продольного магнитного поля с винтальной составляющей тока дуги.

Рассмотрим отдельную конвективную ячейку длиной L_{conv} [19]. Внутри такой ячейки можно пренебречь кривизной отолда дуги одновременно учитывая попечную к оси дуги объемную силу Лоренца $F_L = J \times B$. Тогда окроить конвективного переноса отолба дуги можно приближенно определить, поскольку из решения [9, 20] задачи о распределении окроотей в дуге, измененной параллельно оси канала попечным магнитным полем. Для винта попечная сила Лоренца приблизительно равна

$$F = \bar{J} B \frac{K C_{10}}{\sqrt{I+K^2 C_{10}}} \quad . \quad \text{Тогда выражение для МГД-окрооты при } C_{10} \ll J \text{ принимает вид:}$$

$$V_{rcD} = \frac{\bar{J} B K C_{10}}{\partial \bar{J} \partial n \sqrt{I+K^2 C_{10}}} \left[\left(\frac{P_0}{I-\bar{Q}_{10}} \right)^2 U_m \left(\frac{P_0}{I-\bar{Q}_{10}} \right)^2 I \right], \quad (57)$$

где P_0 – вязкость газа.

Выбирая в качестве оси винтовой дуги изотерму макомимальной температуры и привязывая МГД-окроот к окрестности термического скольжения (56), после простых преобразований, получим следующее уравнение, определяющее равновесную форму винтовой дуги вблизи границы устойчивости

$\left[\frac{(S_{\text{ш}} h_w) T B R_w}{\partial \tilde{\rho}^2} \left(S_* - S_w \right) \right] = \phi(K, \bar{L}, U_m, \bar{\rho}_w)$ (58)
где $\bar{L} = \bar{T} \cdot \bar{E}_{z_0}$ – нормированная удельная мощность прямой дуги,

$$\phi(K, \bar{L}, U_m, \bar{\rho}_w) = \int_{\bar{\rho}_w}^{\bar{L}} \left\{ \frac{1 + K^2 \sqrt{\bar{\rho}}}{\bar{\rho}^2} - U_m \bar{\rho} \frac{\partial \ln \bar{\rho}}{\partial \ln \bar{\rho}} \right\} d\bar{\rho} \quad (59)$$

значение $K = K_m$, при котором функция $\phi(K, \bar{L}, U_m, \bar{\rho}_w)$ принимает минимальное значение, определяет волновое число винтовой дуги вблизи границы устойчивости. Решая уравнение $\frac{d\phi}{dK}|_{K=K_m} = 0$, находим

$$K_m = \sqrt{\frac{1}{n+2} - \frac{1}{2n(n+2)} \left(\frac{2n(n+2)}{5(n+3)(2n+3)} \right)^2} \quad (60)$$

Используя данные [6] для $\bar{\rho}_w = 0,5$, $\bar{T} = 0,3$, $\bar{L} = 13,72$, $U_m = 0,82$, $n = 0,5$ получим по формуле (60) $K_m \approx 1,6$, что хорошо согласуется с экспериментальными данными и теоретическим расчетом [6, 18]. Из соотношения (60) также следует, что с ростом нормированной мощности \bar{L} шаг винта увеличивается.

Для более точного определения геометрических параметров винтовой дуги в выражении (57) следует положить $\sigma_{\mathcal{D}} = \sigma_{\mathcal{D}'}$, где $\sigma_{\mathcal{D}'}$ определяется из (47) и учесть наклон конвективной ячейки по отношению к поперечному сечению разрядной камеры. При этом выражение (59) принимает вид

$$\phi = \frac{K_m \bar{\rho}_w}{V_{Tf}^{1/2} + V_{Tc}^{1/2}} \left(\frac{\bar{\rho}_w^2}{(1 + K^2 \bar{\rho}_w^2)(1 + \bar{\rho}_w^2 C_f^2)(1 + \bar{\rho}_w^2 C_c^2)} \right)^{1/2} \quad (61)$$

где $V_{Tf}^{1/2}$ и $V_{Tc}^{1/2}$ определяются из выражений (54), (55). Расчет шага винта по формуле (61) показал, что в широких пределах изменения отклонения и азимута максимальной температуры от оси канала \bar{C} , приведенной мощности \bar{L} и радиуса приводящей зоны $\bar{\rho}_w$, шаг винта изменяется незначительно и лежит в пределах 2 + 3 D_{ar} (Рис. 5, 6).

9. ЗАКЛЮЧЕНИЕ

Проведенное выше исследование характеристик электрических дуг сложной формы базировалось на использовании лагранжева вариационного принципа. Для реализации прямых методов решения функций, благодаря чему удалось получить аналитические решения, удачестворительно соглашающиеся как с экспериментальными результатами, так и расчетами, основанными на более простых моделях.

При использовании более точных проблемных функций, либо при необходимости учитывать нелинейные зависимости свойств плаэмы решение задач вариационным методом может быть реализовано на ЭВМ. Однако уже сейчас есть основания считать, что выводы о распределении электрического поля, температуры, струи ион-тракции и геометрических параметров криволинейных дуг, сделанные при исследовании данной модели, сохранят свое качественное значение и в более точных моделях, претерпевая только определенные количественные изменения.

Автор выражает глубокую благодарность профессору Б.А. Урюкову и канд. техн. наук Е.П. Пахомову за оказанную помощь в постановке задачи и обсуждении результатов.

ЛИТЕРАТУРА

- 1.Жуков М.Ф.,Смоляков В.Я.,Урюков Б.А.Электродуговые нагреватели газа (плаэмотроны). М., "Наука", 1973, 232 с.
- 2.Меккер Г.Причины движения и смещения дуги. ТИЭР, 1971,59, № 4, с.4-15.
- 3.Шехтер Р.О.Вариационный метод в инженерных расчетах. М., "Мир", 1971, 291 с.
- 4.Vinjanovic B. An Approach to Linear and Non-linear Heat Transfer Problems using a Lagrangian. AIAA, 1971, 9, 1, р.131-137.
- 5.Messerly H.K., Lee H.E.The Variational Method Applied to the Energy Balance Equations of DC and Free Recovery Arcs. "Elec. Eng. Trans. Inst. Eng. Austral", 1974, 10, 2, р.103-108.
- 6.Гороховский В.И.Вариационные методы в динамике термической плазмы. Изв.СО АН СССР. Сер.техн.наук, 1979, вып.1, № 3 (в печати).
- 7.Rompe R.,Weizel B. Über die Bedeutung des Steenbeckschen Minimumprinzips. Zeitschrift für Physik, 1942, 120, 2, р.31-46
- 8.Seeger G. Zur Theorie der Strömung in Wandstabilisierten Bogen mit Quermagnetfeld. Z. Angew. Phys., 25, 1968, p.23-29.
- 9.Seeger G. Theorie der Strömungsfelder in Magnetisch Ausgelehnkten Wandstabilisierten Bögen. Z. Angew. Phys., 22, 1970, p.357-364.
- 10.Менжел Ю.Магнитная неустойчивость электрической дуги. В кн.: "Теория электрической дуги в условиях вынужденного теплообмена". Новосибирск, "Наука", 1977, с.182-205.
- 11.Асиновский Э.И.,Афанасьев А.А.,Пахомов Е.П. Исследование характеристик стабилизированной стенкой дуги высокого давления в пропольном магнитном поле. ДАН СССР, 1976, 231, № 2, с.826-829.
- 12.Steinberger S. Messung von Temperaturverteilungen im H₂-Kaskadenbogen bis 2700°K. Zeitschrift für Physik, 1969, 223, р.1-18.

13.Лаврентьев М.А.,Шабат Б.В.Методы теории функций комплексного переменного. М., "Наука", 1968, 716 с.

14.Андерсон Дж.А.Движение переноса в термической плазме. М., "Энергия", 1972, 151.

15.Ragaller K. Investigations on Instabilities of Electric Arcs. Z. Naturforsch. 1974, 29a, p.556-567.

16.Афанасьев А.А.,Пахомов Е.П.,Ощев П.Е. Модель винтовых форм дуги. ТВТ. 1978, 16, № 2, л.247-257.

17.Урюков Б.А.Исследование турбулентных электрических дуг. Изв.СО АН СССР. Сер.техн.наук, 1975, вып.1, № 8, с.9-11.

18.Асиновский Э.П.,Афанасьев А.А.,Пахомов Е.П.Исследование характеристик стабилизированной стенкой дуги высокого давления в продольном магнитном поле. ТВТ, 1976, 14, № 4, с.695-701.

19.Кадомцев Б.Б.,Погуле О.П.Турбулентные процессы в гороидальных системах. В кн.: "Вопросы теории плазмы". М. Атомиздат, 1967, с.209-349.

20.Новиков О.Я.,Тонаев В.В. Скорость теплового прорастания дуги в магнитородиодном канале. В кн.: "Горючий дом", Уфим. конф. по генераторам низкотемпературной плазмы. Альфа-Ата, 1977, 2, с.35-38.

Рукопись поступила 16 декабря 1978 года

ПОДЛИСИ К РИСУНКАМ

Рис.1. Схема винтовой дуги.

Рис.2. Зависимость E/E ($\bar{\alpha} = 0$) на ближайшей к стенке разрядной камеры стороне проводящего канала винтовой дуги

(сплошная линия) и удлинения проводящего канала $\frac{d\ell}{\ell} = \sqrt{\kappa K q}$ (пунктирная линия) от радиуса $\bar{\alpha}$ винтовой изотермы максимальной температуры при $K = K_m$. $1 - \bar{l} = 1$;

$2 - \bar{l} = 3$; $3 - \bar{l} = 5$; $4 - \bar{l} = 10$.

Рис.3. Зависимость \mathcal{U}_m / U_m ($\bar{\alpha} = 0$) (сплошная линия) эффективного радиуса винтовой дуги $\mathcal{L}_g = \frac{d\ell}{\sqrt{K \kappa \alpha}}$ (пунктирные линии) и формпараметра η (штрих-пунктирные линии) от волнового числа K при $\bar{\alpha} = 0, 25$. $1 - \bar{l} = 1$;

$2 - \bar{l} = 3$; $3 - \bar{l} = 5$; $4 - \bar{l} = 10$.

Рис.4. Зависимость V_{re} от $\bar{\alpha}$. $1 - \bar{l} = 1$, $K = 0$; $2 - \bar{l} = 1$, $K = 1$; $3 - \bar{l} = 1$, $K = 2$; $4 - \bar{l} = 1$, $K = 3$; $5 - \bar{l} = 3$, $K = 0$; $6 - \bar{l} = 5$, $K = 0$; $7 - \bar{l} = 10$, $K = 0$.

Рис.5. Зависимость $\lambda_m = \frac{L}{R_m}$ от $\bar{\alpha}$. $1 - \bar{l} = 1$; $2 - \bar{l} = 3$; $3 - \bar{l} = 5$; $4 - \bar{l} = 10$.

Рис.6. Зависимость $\varphi (K, \bar{L}, V_m, \eta, \mathcal{L}_g)$, определяемая уравнением (61) от K . $1 - \bar{l} = 0, 3$, $\bar{\alpha} \rightarrow 0$; $2 - \bar{l} = 0, 3$; $\bar{\alpha} = 0, 3$; $3 - \bar{l} = 1$, $\bar{\alpha} \rightarrow 0$, $4 - \bar{l} = 1$, $\bar{\alpha} = 0, 3$; $5 - \bar{l} = 3$, $\bar{\alpha} \rightarrow 0$; $6 - \bar{l} = 3$, $\bar{\alpha} = 0, 1$; $7 - \bar{l} = 3$, $\bar{\alpha} = 0, 2$; $8 - \bar{l} = 3$, $\bar{\alpha} = 0, 3$.

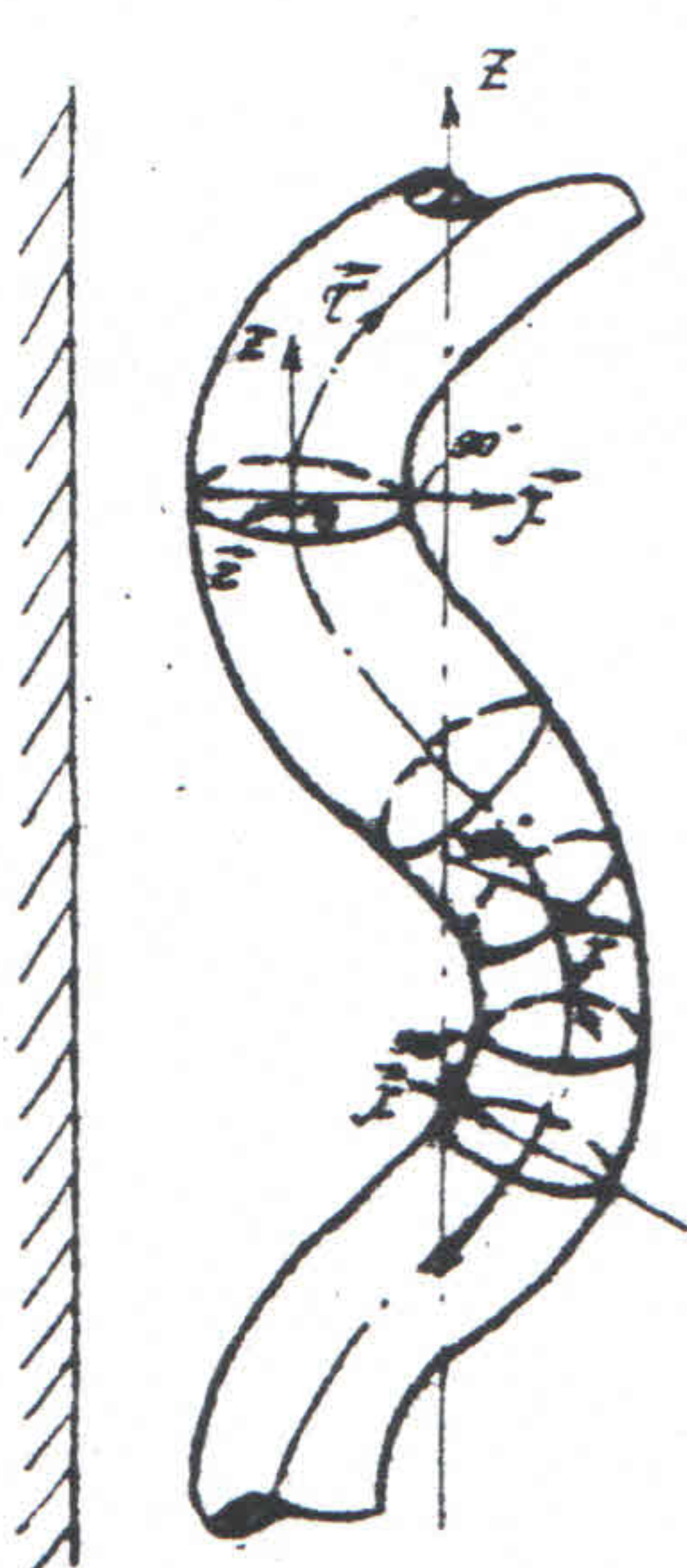


Рис.1.

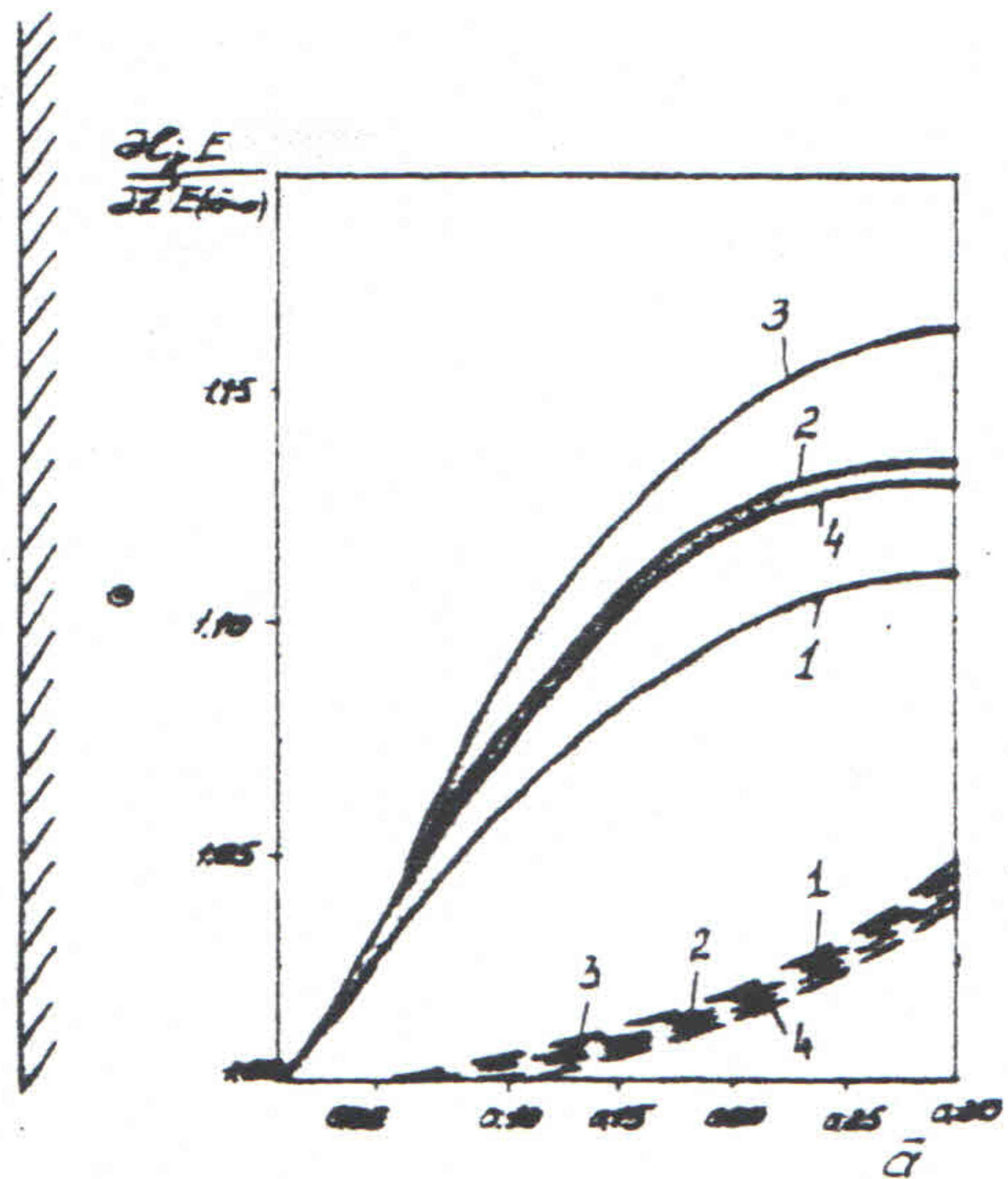


Рис.2.

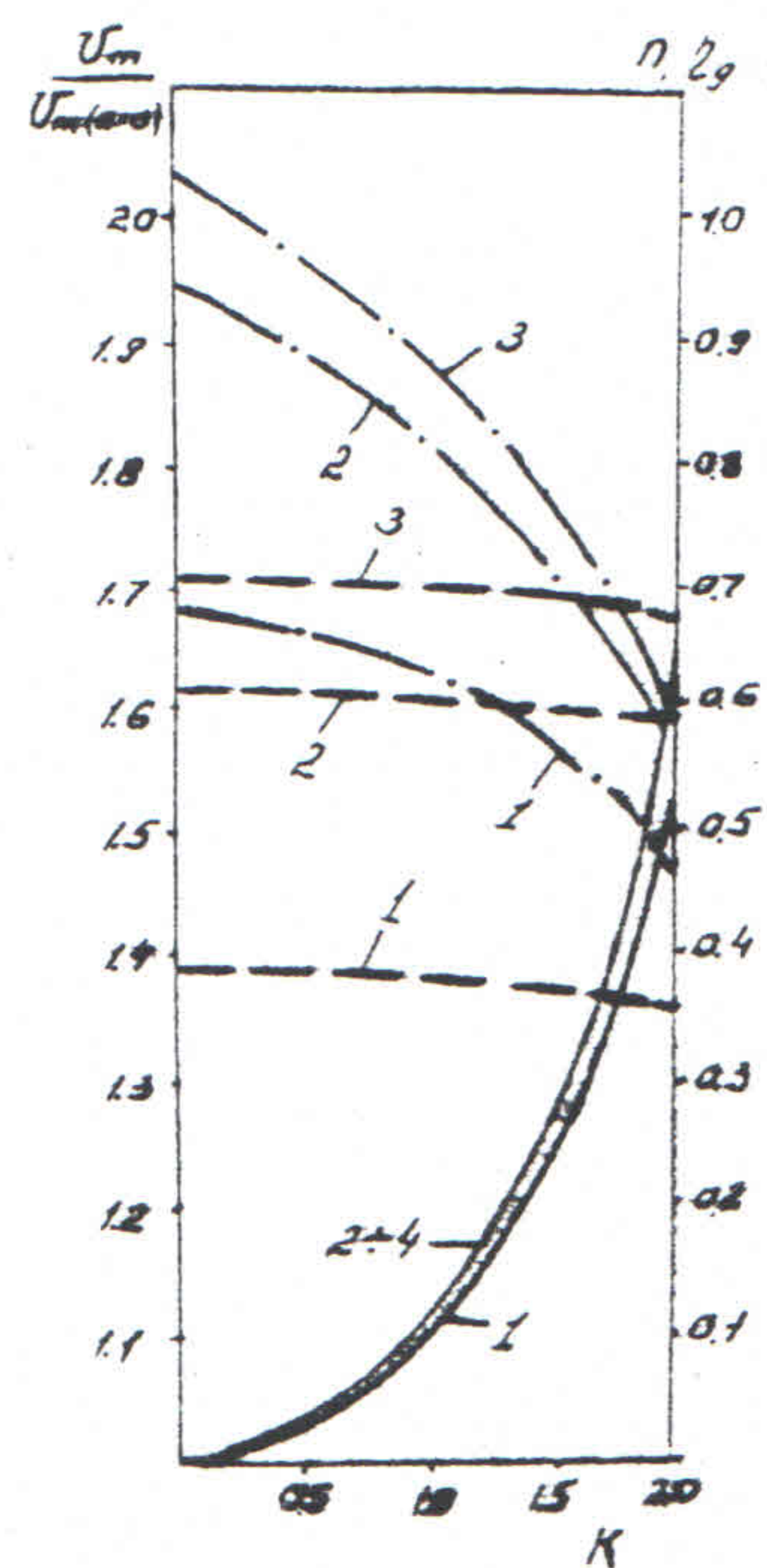


Рис.3.

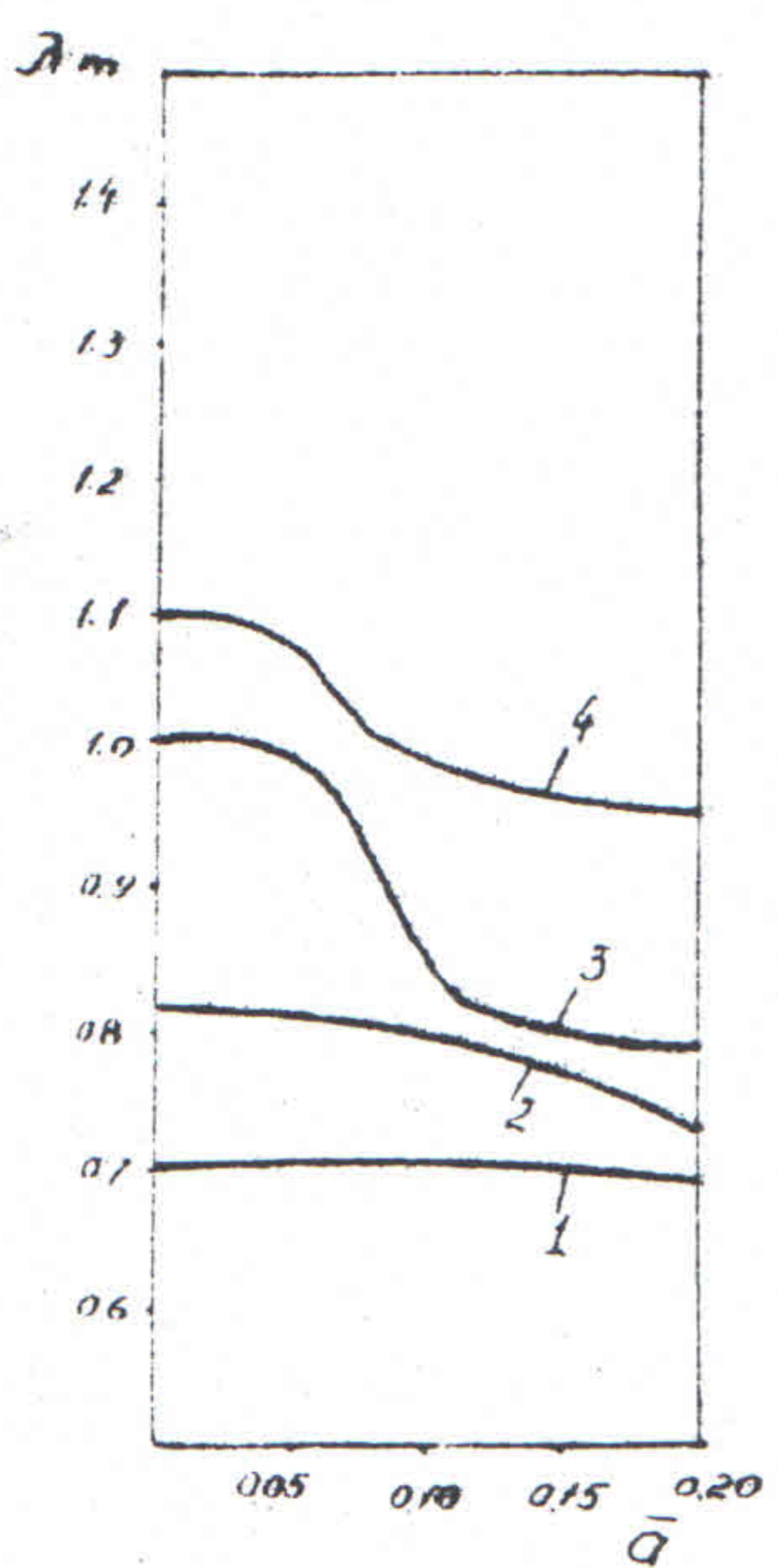


Рис.4.

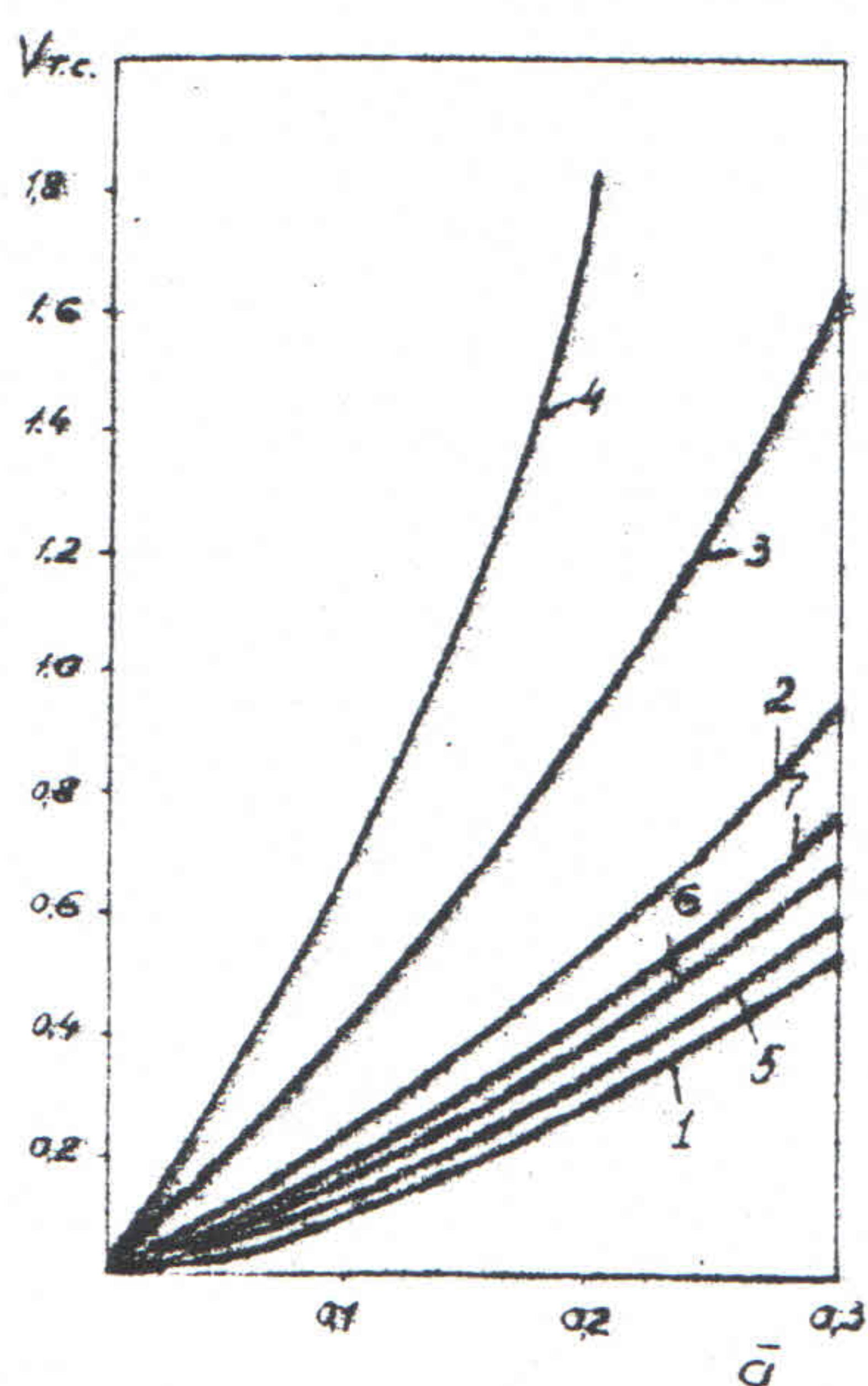


Рис.5.

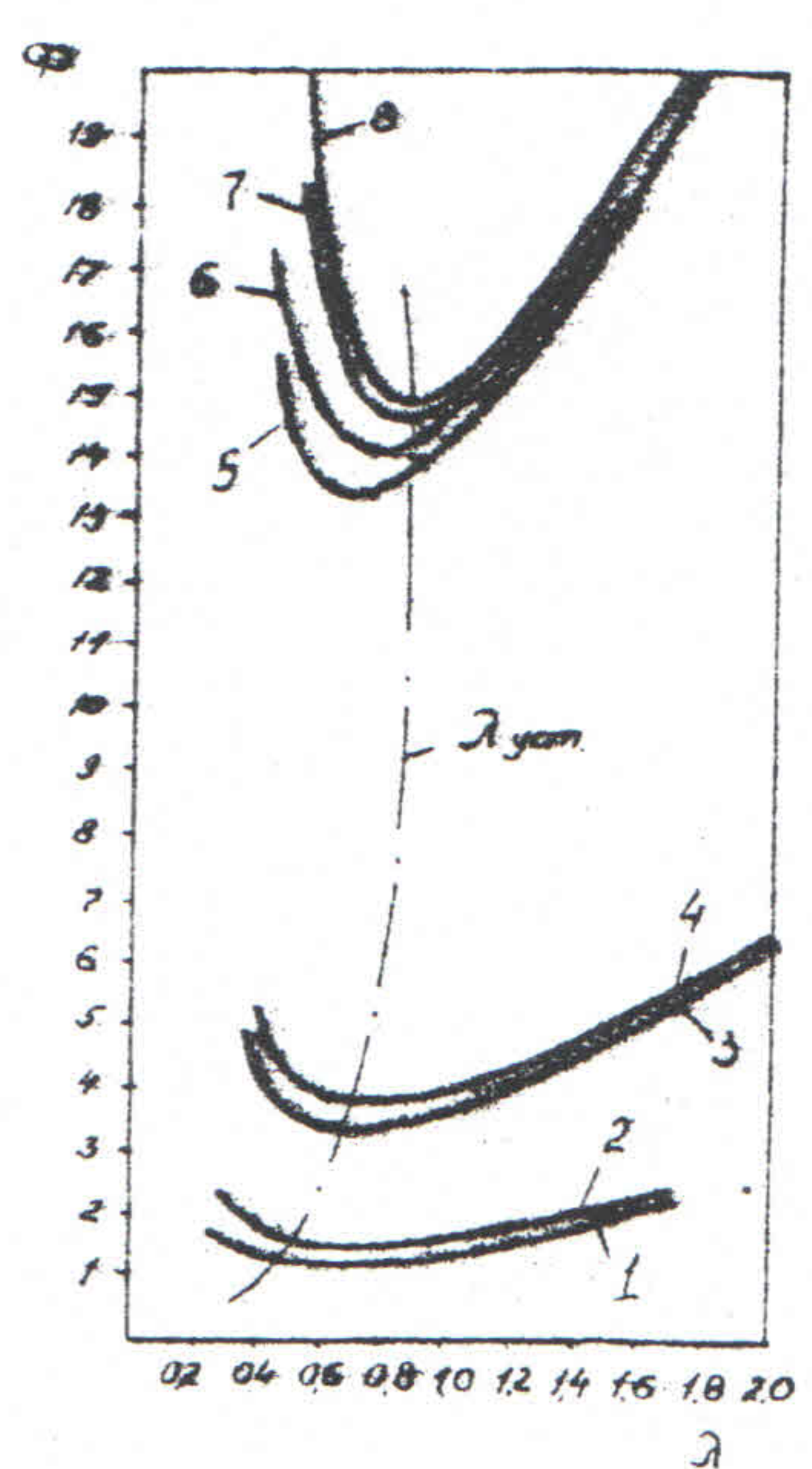


Рис.6.

Редактор А.И.Королёва
БФ 02066 Зак. 16 Техн.редактор Н.К.Хильченская
Подписано к печати 10.1.1979 г. Формат 60x90/16 1,7 п.л.
Офсетная лаб. автория Института теоретической физики АН УССР
Тираж 295. Цена 13 коп.